

УДК 548.0 : 539.143.43

© 1990

**ЯМР  $^{87}\text{Rb}$  В  $\text{Rb}_2\text{CdCl}_4$** *K. С. Александров, О. А. Агеев*

Проведено исследование симметрии низкотемпературной фазы кристалла  $\text{Rb}_2\text{CdCl}_4$ . Обнаружено дополнительное разупорядочение в  $90^\circ$  доменах этой фазы.

В последние годы значительное внимание уделяется исследованию структурных фазовых переходов (ФП) в слоистых перовскитоподобных кристаллах [1-7]. Одним из модельных объектов для изучения структурных ФП рассматриваемого типа является кристалл  $\text{Rb}_2\text{CdCl}_4$ , принадлежащий к структурному типу  $\text{K}_2\text{NiF}_4$ , в котором был обнаружен один ФП  $G_0 \rightarrow G_1$  при 142.8 К [4].

Для структуры низкотемпературной фазы  $G_1$  были предложены две пространственные группы  $G_1 = Abma$  [4-6] или  $G_1 = Pccn$  [7]. Обе группы содержат по 4 формульные единицы и имеют близкие параметры ячеек  $a \approx b \approx \sqrt{2}a_t$ ,  $c \approx c_t$ , где  $a_t$ ,  $c_t$  — параметры ячейки исходной фазы  $G_0 = 14/mmm$  ( $Z=2$ ).

Проведенная расшифровка структуры при 105 К [7], казалось бы, не оставляет сомнений в симметрии фазы  $G_1$ . Однако ФП  $G_0 \rightarrow G_1 = Pccn$ , связанный с появлением двух неравных компонент параметра порядка, является крайне редким случаем и неизбежно должен быть ярко выраженным ФП I рода, что не соответствует экспериментальным данным [8].

Кроме различных законов погасания структурных рефлексов, две указанные группы различаются и симметрией положения атомов рубидия. Это позволяет использовать метод ЯМР  $^{87}\text{Rb}$  для решения вопроса о пространственной группе фазы  $G_1$ .

В объемно-центрированной ячейке фазы  $G_0$  атомы рубидия лежат на осях 4-го порядка и имеют симметрию положения  $4mm$ , что однозначно определяет тензор ГЭП на ядре  $^{87}\text{Rb}$ .

В группе  $Abma$  все атомы рубидия структурно-эквивалентны и находятся в частном положении — в плоскости  $t$ . Как известно, в этом случае одна из главных осей тензора ГЭП ортогональна этой плоскости. Наконец, в группе  $Pccn$  восемь структурно-эквивалентных атомов рубидия находятся в общих положениях, что означает произвольную ориентацию главных осей тензора ГЭП относительно элементов симметрии и в общем случае большее, чем для группы  $Abma$ , число линий в спектре ЯМР.

Спектры ЯМР  $^{87}\text{Rb}$  в монокристалле  $\text{Rb}_2\text{CdCl}_4$  записывались в режиме одноимпульсной последовательности с последующим Фурье-преобразованием спада свободной индукции при  $v_L = 27$  МГц. Ориентационные зависимости сдвига центральной компоненты спектра были получены при вращении кристалла в магнитном поле  $H_0$  относительно осей  $X \parallel a_t$ ,  $Z \parallel c_t$ .

Вид ориентационных зависимостей (рис. 1) иллюстрирует высоко-симметричное окружение ядра  $^{87}\text{Rb}$  в исходной фазе. Главная ось аксиально-симметричного тензора ГЭП на ядре  $^{87}\text{Rb}$  направлена вдоль оси  $c_t$ , константа квадрупольной связи  $eQ\Phi_{zz}/h = 3.20$  МГц.

Для случая пространственной группы  $Abma$  возможны две различные ориентации главных осей тензора ГЭП на ядрах  $^{87}\text{Rb}$ , причем одна из осей ортогональна относительно плоскости  $t$  в обоих случаях. Ниже точки перехода система координат в элементарной ячейке развернута на  $45^\circ$

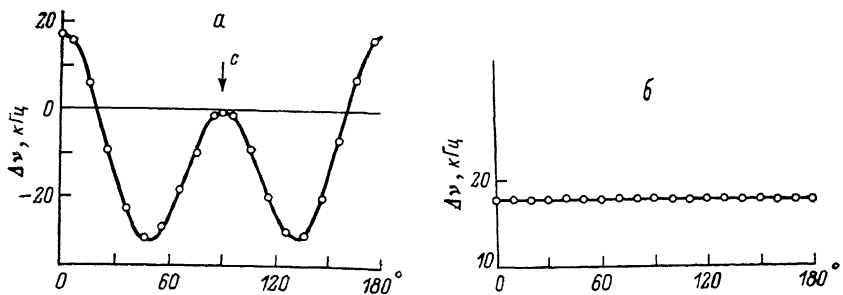


Рис. 1. Ориентационные зависимости частот ЯМР  $^{87}\text{Rb}$  в высокотемпературной фазе (290 К) монокристалла  $\text{Rb}_2\text{CdCl}_4$  при  $\mathbf{H}_0 \perp \mathbf{X}$  (а) и  $\mathbf{H}_0 \perp \mathbf{Z}$  (б). Точки — экспериментальные значения сдвига второго порядка центральной линии относительно ларморовой частоты.

вокруг оси  $c_i$  относительно ее ориентации в исходной фазе. В результате этого при вращении вокруг оси  $\mathbf{X}$ , которая теперь неортогональна плоскостям симметрии, будут наблюдаться две симметричные относительно положения  $\mathbf{H}_0 \parallel c$  ориентационные зависимости. В случае  $Z$ -вращения, когда магнитное поле лежит в плоскости скользящего отражения, связывающей ядра  $^{87}\text{Rb}$  с различной ориентацией главных осей тензора ГЭП, спектр имеет только одну линию.

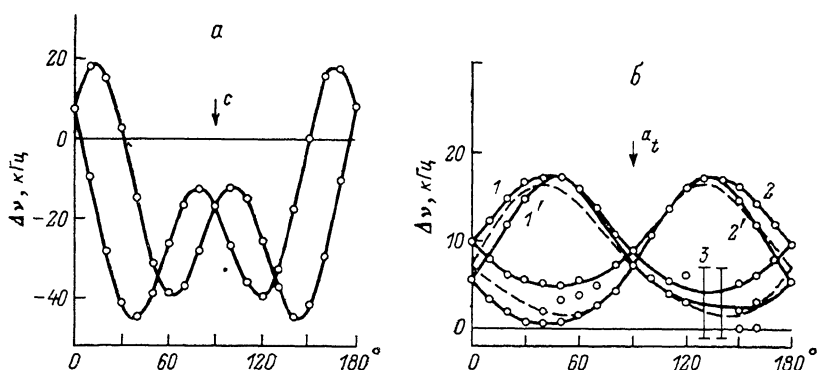


Рис. 2. Ориентационные зависимости частот ЯМР  $^{87}\text{Rb}$  в низкотемпературной фазе (115 К) монокристалла  $\text{Rb}_2\text{CdCl}_4$  при  $\mathbf{H}_0 \perp \mathbf{X}$  (а) и  $\mathbf{H}_0 \perp \mathbf{Z}$  (б).

— распределение спектральной плотности. Штриховые линии — расчетные ориентационные зависимости.

Если кристалл имеет пространственную группу  $Pccn$ , в случае  $X$ -вращения должны наблюдаться четыре магнитонеэквивалентных ядра, т. е. четыре попарно симметричные относительно положения  $\mathbf{H}_0 \parallel c$  ориентационные зависимости. Для  $Z$ -вращения, когда магнитное поле ортогонально оси 2-го порядка, должны наблюдаться только два ядра  $^{87}\text{Rb}$ , не связанные этой осью, т. е. две ориентационные зависимости, симметричные относительно положения  $\mathbf{H}_0 \parallel a, b$  ( $a, b$  — оси ячейки низкотемпературной фазы).

Как видно из рис. 2, экспериментальные данные для  $X$ -вращения соответствуют пространственной группе  $Abma$ . Для  $Z$ -вращения наблюдаются дополнительные расщепления линий спектра, и при некоторых ориентациях вместо узких линий наблюдаются частотные распределения, пики которых показаны точками на рис. 2, б. Кривые 1, 2, взятые по отдельности, соответствуют ожидаемым для группы  $Abma$ . Согласно оптическим ис-

следованиям [4, 5], ниже точки перехода кристалл разбивается на  $90^\circ$  двойники в плоскости (001). Поэтому кривые 2, 2' на рис. 2, б можно объяснить как трансляцию на  $90^\circ$  кривых 1, 1'. Сравнение рассчитанных по методу [8] ориентационных зависимостей с экспериментальными, а также тензоров ГЭП, полученных при использовании в расчете различных кривых (рис. 2, б), свидетельствует в пользу того, что в массивных образцах существует дополнительная разориентация  $90^\circ$  двойников в плоскости (001).

Попытки избавиться от этого ростового дефекта в достаточно крупных образцах не удались. Очевидно, что указанная особенность строения образцов понижает точность определения ориентации главных осей тензора ГЭП в фазе  $G_1$ . Однако константа квадрупольной связи и параметр асимметрии определяются достаточно надежно:  $eQ\Phi_{zz}/h = 3.3$  МГц,  $\eta = 0.2$ .

Понижение точности эксперимента по отношению к обычной для качественных монокристаллов уменьшает надежность результата по определению пространственной группы  $Abma$  для фазы  $G_1$  в частном случае, когда ориентация одной из главных осей тензора ГЭП на ядре Rb, находящегося в общем положении (группа  $Pccn$ ), может оказаться близкой к ориентации выделенной главной оси для ядра, лежащего в плоскости  $t$  (группа  $Abma$ ). Отметим, однако, что структура  $Rb_2CdCl_4$  не предполагает такой ситуации.

Авторы благодарят А. И. Круглика и И. П. Александрову за обсуждение результатов.

#### Список литературы

- [1] Aleksandrov K. S., Beznosikov B. V., Misyul C. V. // Ferroelectrics. 1987. V. 73. N 1—2. P. 201—220.
- [2] Aleksandrov K. S., Beznosikov B. V., Misyul S. V. // Phys. St. Sol. (a). 1987. V. 104. P. 529—543.
- [3] Hatch D. M., Stokes H. T., Aleksandrov K. S., Misyul S. V. // Phys. Rev. 1989. V. B 39. N 13. P. 9282—9288.
- [4] Aleksandrov K. S., Emelyanova L. S., Misyul S. V., Kokov I. T. // Sol. St. Comm. 1985. V. 53. P. 835—839.
- [5] Aleksandrov K. S., Emelyanova L. S., Misyul S. V., Melnikova S. V., Gorev M. V., Kokov I. T., Schäfer A. D. // Jap. J. Appl. Phys. 1985. V. 24. Suppl. 24—2. P. 699—701.
- [6] Шефер А. Д., Шабанов В. Ф., Александров К. С. // Письма в ЖЭТФ. 1986. Т. 43. № 10. С. 491—494.
- [7] Kruglik A. I., Vasilyev A. D., Aleksandrov K. S. // Phase Transitions B., 1988. V. 11. N 10. P. 64—76.
- [8] Volkoff G. M. // Can. J. Phys. 1953. V. 31. P. 820—845.

Институт физики им. Л. В. Киренского  
СО АН СССР  
Красноярск

Поступило в Редакцию  
26 января 1990 г.